文章编号: 1001-3555(2008)04-0336-05

# TiO,/Al,O,负载量对气相酯交换合成碳酸甲丙酯的影响

赵春香1,丁永杰1,赵天生2\*

(1. 周口师范学院 化学系, 河南 周口 466000;

2. 宁夏大学 能源化工自治区重点实验室,省部共建天然气转化国家重点实验室培育基地,宁夏 银川 750021)

摘 要:采用 XRD、 $N_2$  physical adsorption、XPS、 $NH_3$ -TPD 和吡啶吸附 IR 等技术,对碳酸二甲酯和丙醇气固相合成碳酸甲丙酯的  $TiO_2/Al_2O_3$ 催化剂进行了表征. 实验结果表明, $TiO_2/Al_2O_3$ 表面的 Lewis 酸中心是反应的催化活性位,酸性主要来源于  $Al_2O_3$ , $TiO_2$ 起修饰作用,有利于选择性生成碳酸甲丙酯. 随着 Ti 负载量的增加, $TiO_2$ 在  $Al_2O_3$ 表面由高度分散状态向晶态转变,其比表面积逐渐降低,但是  $TiO_2/Al_2O_3$ 的表面酸性质没有受到显著影响,L 酸量先是增加,而后略有下降. 当 Ti 负载量为 5% 时,DMC 的转化率及 MPC 的选择性分别达到 54.3% 和 88.1%.

关 键 词: MPC; DMC; 气固相酯交换; TiO<sub>2</sub>/Al<sub>2</sub>O<sub>3</sub>催化剂

中图分类号: 0643.32 文献标识码: A

碳酸甲丙酯(methyl propyl carbonate, MPC)是 一种不对称的甲基烷基碳酸酯. 不对称碳酸酯因其 具有较好的电化学稳定性、较高的电流密度和放电 容量,在锂离子电池中获得实际应用[1~2];另外, 根据分子结构的特点, 在有机合成中, MPC 可以用 于不同的基团合成反应中. 目前不对称甲基烷基碳 酸酯的合成主要通过酯交换法进行[3]. 其中以碳酸 二甲酯(dimethyl carbonate, DMC)为原料,与醇气 相酯交换合成不对称甲基烷基碳酸酯是一条理想的 工艺路线[4], 该路线以绿色化学品 DMC 为原料, 反应不会产生污染,反应条件较温和;此外,采用 气相酯交换法工艺可降低副反应的发生. 当前,该 类反应大多在液相条件下进行, 所使用的催化剂表 现为选择性低、重复使用后活性下降快、不易分离 回收等特点[5]. 近年来有关非均相催化过程的研究 受到了越来越多的关注和研究, 如复合氧化物 TiO<sub>2</sub>/SiO<sub>2</sub>和 MoO<sub>3</sub>/SiO<sub>2</sub>催化的 DMC 和苯酚合成甲 基苯基碳酸酯和碳酸二苯酯的研究等[6~10]. 在前期 筛选出的 TiO<sub>2</sub>/Al<sub>2</sub>O<sub>3</sub>负载型催化剂的基础上[11], 通过 XPS、XRD、BET、NH,-TPD、吡啶吸附 IR 等 分析方法对催化剂组成对催化性能影响进行了表征 研究.

### 1 实验部分

#### 1.1 催化剂制备

采用常规浸渍法制备催化剂:将钛酸丁酯溶于一定量的乙醇中制成溶液,浸渍 $\gamma$ -Al<sub>2</sub>O<sub>3</sub>载体,静置过夜后真空处理 2 h,然后在 120  $^{\circ}$  干燥 6 h,所制样品在 500  $^{\circ}$  空气气氛中焙烧 3 h,自然冷却至室温后,再经 0.90  $^{\circ}$  0.45 mm 造粒 (40 MPa 条件下),制备成负载型 TiO<sub>2</sub>/Al<sub>2</sub>O<sub>3</sub>催化剂.

#### 1.2 催化剂酯交换反应活性评价

活性评价在连续流动固定床反应器中进行.将粒径为  $0.45 \sim 0.90$  mm 的催化剂 5 mL 装入反应器,用  $N_2$ 气吹扫. 原料 DMC/propanol (mol) 的混合液由双柱塞泵计量,经汽化后以一定的空速进入反应器(长 450 mm,直径为  $\Phi14 \times 2$  mm) 反应,反应后的混合物通过冷阱冷凝、气液分离器分离后接收液体样品. 采用 SP-2100 型(北京北分瑞利分析仪器有限责任公司)气相色谱仪对产品进行分析,色谱柱为聚乙二醇 20 mol/L,长 2.5 m,直径 3 mm,氢火焰检测,检测器温度 235  $\mathbb{C}$ ,柱温为  $100 \sim 230$ 

收稿日期: 2007-12-28; 修回日期: 2008-03-28.

基金项目: 重大基础研究前期研究专项(2002CCC01100); 周口师范学院青年科研基金项目(zknuqn200602).

作者简介: 赵春香, 女, 生于1980年, 硕士.

1) 通讯联系人, Tel: 0951-2062237, zhaots@nxu.edu.cn.

℃,程序升温,进样量  $1 \mu$ L. 数据在 CDMC-21 型色 谱数据处理机上进行.

#### 1.3 催化剂表征

物相分析在 SA-HF3 型 X 射线粉末衍射仪(日本理学)上进行, Cu Kα 特征射线辐射, 波长  $\lambda$  = 0. 154 nm, 管电压 40 kV, 管电流 30 mA, 扫描范围 3 ~80°, 扫描速度 10°/min, 扫描步长 0.02°. 比表面积在 ASAP-2010M 型物理吸附仪(美国麦克公司)上测定,样品首先在 150 ℃下抽空处理 6 h, 然后在液氮温度下进行 N₂吸附测定. XPS 分析在 AXIS Ultra 型 X 射线光电子能谱仪(英国 Kratos 公司)上进行, 激发源为带单色器的 Al 靶, 功率为 225 W, 工作电压 15 kV, 发射电流 15 mA, 最小能量分辨率为 0.48 eV, 最小 XPS 分析面积为 15 μm. 表面酸性在美国 NICOLET 公司生产的 NEXUS-470 型 FTIR

光谱仪进行,扫描范围 2 000~400 cm<sup>-1</sup>,分辨率 4 cm<sup>-1</sup>,扫描次数 32 次. 采用单光束红外池,将研细的样品制成自支撑片,在 300  $^{\circ}$  下 0. 67 Pa 真空脱水 4 h 后,降至室温,吸附净化过的吡啶饱和蒸汽,平衡 15 min,升温至 200  $^{\circ}$ ,脱去物理吸附的吡啶后,进行红外扫描. NH<sub>3</sub>-TPD 测定在 TP-5000 型多用吸附仪(天津先权仪器公司)上进行,用氦气在150  $^{\circ}$  下吹扫样品 1 h 后降至 30  $^{\circ}$  ,在此温度下用氦气做载气脉冲吸附 NH<sub>3</sub> 直至饱和,再以 10  $^{\circ}$  C/min 的速率升温至 600  $^{\circ}$  ,用热导检测脱出的 NH<sub>3</sub> 信号.

## 2 结果与讨论

#### 2.1 Ti 负载量对催化剂活性的影响

表1为不同Ti负载量经500 ℃ 焙烧制备的

表 1 不同 Ti 负载量 TiO<sub>2</sub>/Al<sub>2</sub>O<sub>3</sub>的催化性能

Table 1 Catalytic activity of TiO2/Al2O3 with variant Ti loadings

Ti loading (%)(w)	Conversion (%)	Selectivity (%)	Yield (%)
	DMC	MPC	MPC
$\mathrm{Al}_2\mathrm{O}_3$	54.2	87.0	47.2
1	52.0	87.0	45.2
3	52.5	87.2	45.8
5	54.3	88.1	47.8
10	50.2	89.1	44.7
20	48.5	89.3	43.3
${\rm TiO_2}$	16.3	94.9	15.4

130 °C, 1.1 MPa, N<sub>2</sub> flow rate = 30 mL/min, DMC/Propanol (mol) = 1, feed rate = 5 mL/h

 $TiO_2/Al_2O_3$ 催化剂的活性考察结果. 由表可知,随催化剂 Ti 负载量的增加, DMC 的转化率先增加后减小,同时,生成 MPC 的选择性则不断缓慢增加. 在 Ti 负载量为 5% 时, DMC 的转化率和 MPC 的收率达到最大值,分别为 54.3% 和 47.8%, MPC 的选择性为 88.1%. 表明催化剂中对合成反应起主要作用的是  $Al_2O_3$ ,  $TiO_2$ 起修饰作用,有利于 MPC 的选择生成.

#### 2.2 催化剂的 XPS 分析

图 1 为 Ti 负载量为 5% 的 TiO<sub>2</sub>/Al<sub>2</sub>O<sub>3</sub>的 XPS 分析谱图. 由图可见, Ti2p 的结合能谱有两处能峰: 464.2 eV 和 458.4 eV,分别对应于 Ti2p<sub>1/2</sub>和 Ti2p<sub>3/2</sub>. 其中,Ti2p<sub>3/2</sub>的结合能值与 TiO<sub>2</sub>中的 Ti (458.7 eV)的相近,所以 TiO<sub>2</sub>/Al<sub>2</sub>O<sub>3</sub>表面的 Ti 主要是以 Ti +4 的形式存在 $^{[12,13]}$ ,表明钛酸丁酯经焙烧

后以TiO2状态负载于Al2O3表面.

图2为不同Ti负载量的TiO2/Al2O3的表面Ti

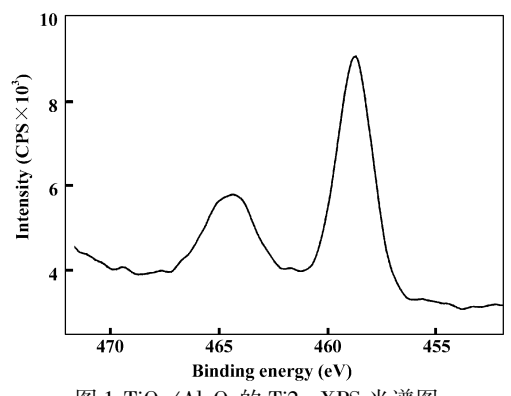


图 1 TiO<sub>2</sub>/Al<sub>2</sub>O<sub>3</sub>的 Ti2p XPS 光谱图 Fig. 1 XPS spectra of Ti2p of TiO<sub>2</sub>/Al<sub>2</sub>O<sub>3</sub>

元素含量 XPS 分析结果. 由图可见,在 Ti 负载量小于 1% 时,曲线斜率大于 Ti 负载量为 3% 与 10% 段

的斜率,表明在 Ti 负载量小于 1% 时,  $TiO_2$ 在  $Al_2O_3$  表面呈高度分散状态<sup>[6]</sup>. 而当 Ti 负载量大于 1% 时,  $TiO_2$ 开始形成微晶态颗粒,以晶体形式存在于  $Al_2O_3$ 表面,此时表面 Ti 含量增加的速率与表层负载 Ti 的增加速率相当.

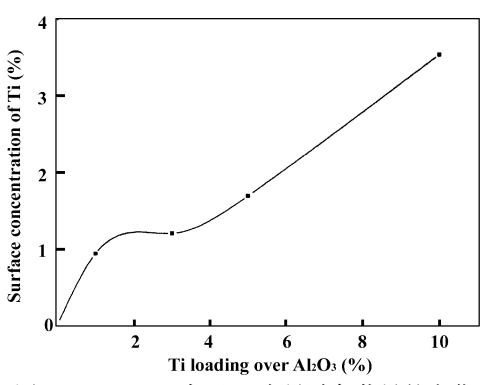


图 2 TiO<sub>2</sub>/Al<sub>2</sub>O<sub>3</sub>表面 Ti 含量随负载量的变化 Fig. 2 Surface Ti concentration of TiO<sub>2</sub>/Al<sub>2</sub>O<sub>3</sub>

#### 2.3 催化剂的物相及比表面积分析

图 3 为不同 Ti 负载量的 TiO,/Al,O,的 XRD 谱

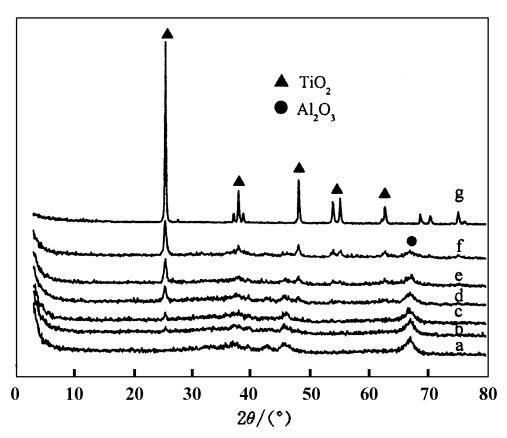


图 3 不同 Ti 负载量  $TiO_2/Al_2O_3$ 的 XRD 谱图 Fig. 3 XRD patterns of  $TiO_2/Al_2O_3$  with variant loadings a  $Al_2O_3$ ; b 1%; c 3%; d 5%; e 10%; f 20%; g  $TiO_2$ 

图. 由图可知,负载  $TiO_2$ 后,  $Al_2O_3$ 的特征衍射峰  $(2\theta=67.2^\circ)$ 相对强度略有降低,并随负载量的增加,特征衍射峰强度进一步减弱,可能是  $TiO_2$ 的引入堵塞了  $Al_2O_3$ 的孔壁,使得  $Al_2O_3$ 的规整度下降. Ti 负载量为 1% 的催化剂,没有观察到锐钛矿晶相的存在,说明  $TiO_2$ 在  $Al_2O_3$ 表面呈高度分散状态;而当 Ti 负载量为 3% 时,在  $2\theta=25.3^\circ$ 处开始出现锐钛矿的衍射特征峰,并且随 Ti 负载量的增加,锐钛矿的衍射特征峰逐渐增强,表明  $TiO_2$ 开始生成为三维的微晶态颗粒,以晶体形式存在于  $Al_2O_3$ 表面.这与 XPS 表征得到的  $TiO_2$ 在  $Al_2O_3$ 表面存在状态的

结果相一致.

分析表明,随着  $TiO_2$ 负载量的增加, $TiO_2$ /  $Al_2O_3$ 的比表面积几乎呈线形降低. 这主要是由于负载量过高,超过了其单层分散阈值  $0.168 g TiO_2/g$   $\gamma$ - $Al_2O_3$ <sup>[12]</sup>,引起了  $Al_2O_3$ 的部分比表面发生减少所致,见图 4. 过高的负载量没有明显进一步提高 MPC 的选择性,反而降低了原料 DMC 的转化率 (参见表 1).

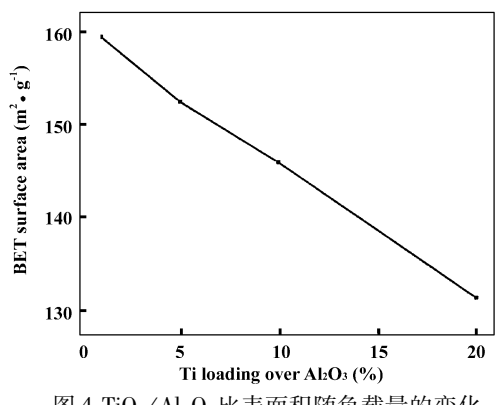


图 4 TiO<sub>2</sub>/Al<sub>2</sub>O<sub>3</sub>比表面积随负载量的变化 Fig. 4 BET surface area of TiO<sub>2</sub>/Al<sub>2</sub>O<sub>3</sub>

#### 2.4 催化剂的吡啶吸附 IR 光谱

根据文献[15], 吡啶吸附 IR 谱图中, 1 545 cm<sup>-1</sup>谱带表征固体酸的 Brønsted(B) 酸位, 1 455 cm<sup>-1</sup>谱带表征 Lewis(L) 酸位, 1 490 cm<sup>-1</sup>谱带是 B 酸和 L 酸部位叠加的结果. 图 5 是 TiO<sub>2</sub>/Al<sub>2</sub>O<sub>3</sub>的吡

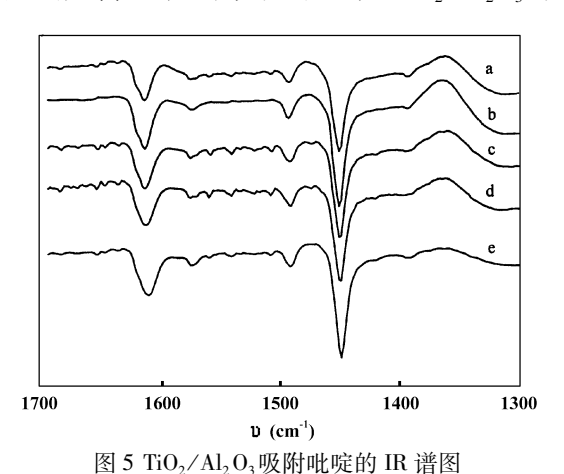


Fig. 5 IR spectra of pyridine absorbed on TiO<sub>2</sub>/Al<sub>2</sub>O<sub>3</sub>
a. Al<sub>2</sub>O<sub>3</sub>; b. 1%; c. 3%; d. 5%; e. 10%

啶吸附 IR 谱图. 1452 cm  $^{-1}$  谱带表征吸附吡啶的  $\gamma$ -Al<sub>2</sub>O<sub>3</sub> L 酸位的存在  $^{[16]}$ . 可以看出,不同负载量的 TiO<sub>2</sub>/Al<sub>2</sub>O<sub>3</sub>都只含有 L 酸位而无明显的 B 酸位,说明 TiO<sub>2</sub>的负载对催化剂表面酸性中心的种类没有影响. 随着 Ti 负载量的增加,TiO<sub>2</sub>/Al<sub>2</sub>O<sub>3</sub>的1452

 $cm^{-1}$ 吸收峰(L 酸量)有所增强,但是负载量高于 5%时,1 452  $cm^{-1}$ 吸收峰(L 酸量)略有下降.表明  $TiO_2/Al_2O_3$ 表面的酸性应主要来源于  $Al_2O_3$ .

#### 2.5 催化剂的 TPD 分析

图 6 为不同 Ti 负载量 TiO,/Al,O,的 NH,-TPD

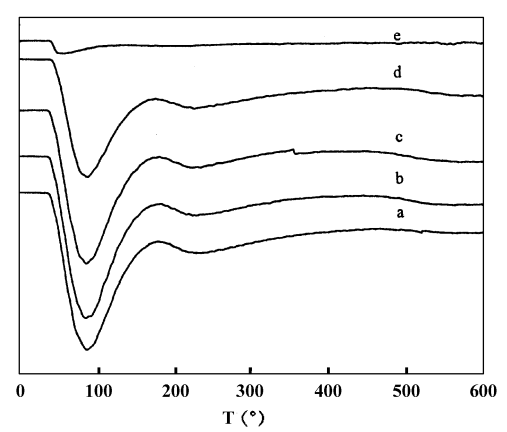


图 6 不同 Ti 负载量  $TiO_2/Al_2O_3$ 的  $NH_3$ -TPD 谱图 Fig. 6  $NH_3$ -TPD profiles of  $TiO_2/Al_2O_3$  with variant loadings a. 1%; b. 5%; c. 10%; d. 20%; e.  $TiO_2$ 

谱图. 由图可知,所有的样品均在 90 ℃附近出现大的 NH<sub>3</sub>脱附峰,在 240 ℃附近出现较小的 NH<sub>3</sub>脱附峰,表明不同 Ti 负载量的 TiO<sub>2</sub>/Al<sub>2</sub>O<sub>3</sub>上有较多的 弱酸中心和较少的中强酸中心;随着 Ti 负载量的增加,两个 NH<sub>3</sub>脱附峰峰位没有变化,但是强度略有降低,表明 Ti 负载量的增加对 TiO<sub>2</sub>/Al<sub>2</sub>O<sub>3</sub>的酸强度没有明显的影响。TiO<sub>2</sub>本身 NH<sub>3</sub>脱附峰很小,表明 TiO<sub>2</sub>/Al<sub>2</sub>O<sub>3</sub>的酸性主要来自于 Al<sub>2</sub>O<sub>3</sub>,但是 TiO<sub>2</sub>的负载对 TiO<sub>2</sub>/Al<sub>2</sub>O<sub>3</sub>的酸性有一定影响,这与吡啶吸附 IR 表征结果一致。TiO<sub>2</sub>/Al<sub>2</sub>O<sub>3</sub>具有的这种酸性中心,应是 DMC 和丙醇酯交换选择性合成 MPC 的催化活性位.

# 3 结 论

对不同 Ti 负载量的 TiO<sub>2</sub>/Al<sub>2</sub>O<sub>3</sub>催化剂的表征 研究表明: TiO<sub>2</sub>/Al<sub>2</sub>O<sub>3</sub>表面的 Lewis 酸中心是 DMC 和丙醇酯交换合成 MPC 反应的催化活性位,其中对合成反应起主要作用的是 Al<sub>2</sub>O<sub>3</sub>组分,TiO<sub>2</sub>组分起修饰作用,有利于选择性生成 MPC. Al<sub>2</sub>O<sub>3</sub>表面 TiO<sub>2</sub>的 Ti 主要以 Ti<sup>+4</sup>的形式存在,随着 Ti 负载量 从 0 增加到 20%,TiO<sub>2</sub>在 Al<sub>2</sub>O<sub>3</sub>表面由高度分散状态向晶态转变,其比表面积逐渐降低,但是 TiO<sub>2</sub>/Al<sub>2</sub>O<sub>3</sub>表面的酸性质没有受到显著影响,L 酸量先是增加,而后略有下降;当 Ti 负载量为 5% 时,DMC

的转化率及 MPC 的选择性分别为 54.3% 和88.1%.

#### 参考文献:

- [1] Ein-Eli Y, McDevitt S F, Aurbach D, et al. J. Elect. Soc. [J], 1997, 144(7): L180 ~ L184
- [2] Zhuang Quan-chao (庄全超), Wu Shan (武 山), Liu Wen-yuan (刘文元), Lu Zhao-da (陆兆达). Electro-chem. (电化学) [J], 2001, **7**(4): 403~412
- [3] Yao Jie (姚 洁), Wang Yue (王 越), Zeng Yi (曾毅), Wang Gongying (王公英). Natural Gas Chem.
  Ind. (天然气化工) [J], 2004, 29(1): 57~59
- [4] Kim W B, Lee J S. Catal. Lett. [J], 1999, **59**(1): 83 ~88
- [5] Wang Shengping (王胜平). Study on the synthesis of diphenyl carbonate from transesterification of dimethyl oxalate with phenol (苯酚和草酸二甲酯酯交换反应合成碳酸二苯酯) [D], Tianjing University (天津大学). 2002
- [6] Kim W B, Lee J S. J. Catal. [J], 1999, **185**(2): 307 ~313
- [7] Fu Z H, Ono Y. J. Mol. Catal. A: Chem. [J], 1997, 118(3): 293 ~ 299
- [8] Tian Qi-feng (田琦峰), Wu Wen-guang (吴广文), Zhang Guang-xu (张光旭), et al. J. Chem. Ind. & Eng. (化学工业与工程技术) [J], 2002, 23(1): 21~24
- [9] Li Yong-xin(李永昕), Tang Xuan(唐 璇), Ma Qing-xiang(马清祥), et al. J. Mol. Catal. (China)(分子催化)[J], 2006, **20**(2): 125~130
- [10] Han Hua-jun(韩华俊), Chen Tong(陈 彤), Yao Jie (姚 洁), et al. J. Mol. Catal. (China)(分子催化) [J], 2006, **20**(6): 496~499
- [11] Chen Xin-quan (陈兴权), Zhao Chun-xiang (赵春香), Zhao Tian-sheng (赵天生). Petrochem. Technol. (石油化工) [J], 2007, **36**(5): 447~451
- [12] Wagner C, Muilenberg G. Handbook of X-ray photoelectron spectroscopy (X 光电子能谱手册) [M]. Minnesota, Perkin-Elmer Corporation. 1979. 38~68
- [13] Yu Jia-guo (余家国), Zhao Xiu-jian (赵修建), Zhao Qing-nan (赵青南). Du Jincheng. Chin. J. Mater. Res. (材料研究学报) [J], 2000, 14(2): 203~209
- [14] Deng Cun (邓 存), Duan Lianyun (段连运), XU Xianpin (徐献平), et al. J. Mol. Catal. (China)(分子催化)[J], 1992, **6**(5): 394~397
- [15] Liu Xiyao (刘希尧). Analysis and Characterization of Industrial Catalysts (工业催化剂分析测试表征) [M].

北京: 化学工业出版社. 1990

[16] Xiang Shou-he (项寿鹤), Wang Jing-zhong (王敬中),

Gao Feng (高 峰), et al. Chin. J. Catal. (催化学报) [J], 1991, 12(5): 404~406

# Effect of TiO<sub>2</sub> /Al<sub>2</sub> O<sub>3</sub> Loadings on Synthesis of Methyl Propyl Carbonate by Gas-phase Transesterification

ZHAO Chun-xiang 1, DING Yong-jie1, ZHAO Tian-sheng 2\*

- (1. Department of Chemistry, Zhoukou Normal College, Zhoukou 466001, China;
- 2. Key Laboratory of Energy Resources & Chemical Engineering of Ningxia, Ministry-Province Co-cultivated State Key Laboratory Base of Natural Gas Conversion Yinchuan 750021, China)

**Abstract:** The  $\text{TiO}_2/\text{Al}_2\text{O}_3$  catalysts with variant loadings for the synthesis of methyl propyl carbonate (MPC) via the gas-phase transesterification of dimethyl carbonate (DMC) with propanol were characterized by means of XRD,  $N_2$  physical adsorption, XPS,  $N_3$ -TPD and FT-IR of adsorbed pyridine. Experimental results indicated that the Lewis acidic centers on the surface of  $\text{TiO}_2/\text{Al}_2\text{O}_3$  were the catalysis active sites for the reaction, which attributed mainly to  $\text{Al}_2\text{O}_3$ .  $\text{TiO}_2$  as a modified component favored the selective formation of MPC. As the Ti loadings increased, the dispersion of  $\text{TiO}_2$  on the surface of  $\text{Al}_2\text{O}_3$  changed from monolayer to crystal phase and the BET surface areas of  $\text{TiO}_2/\text{Al}_2\text{O}_3$  decreased. The surface acidity of  $\text{TiO}_2/\text{Al}_2\text{O}_3$  was not remarkably influenced while the Lewis acidic amount increased firstly and then decreased slightly. When the Ti loading was 5%, the reaction reached a maximum with the conversion of DMC, the selectivity of MPC of 54.3% and 88.1%, respectively.

Key words: Methyl propyl carbonate; Dimethyl carbonate; Gas phase transesterification; TiO<sub>2</sub>/Al<sub>2</sub>O<sub>3</sub> catalyst